

Wojciech Krzysztof Nowacki

**ZASTOSOWANIE
BILINIOWEJ TEORII PLASTYCZNOŚCI
DO ZAGADNIENÍ PROPAGACJI FAL**

12/1968

WARSZAWA



Na prawach rękopisu
Do użytku wewnętrznego

Zakład Badania Drgań I P P T - P A N

Nakład 200 egz. Ark. wyd. 1, 3. Ark. druk. 2.

Oddano do drukarni w maju 1968 r.

Wydrukowano w czerwcu 1968 r. Nr zam. 466/0/68

Warszawska Drukarnia Naukowa, Warszawa,
ul. Śniadeckich 8

ZASTOSOWANIE BILINIOWEJ TEORII PLASTYCZNOŚCI
DO ZAGADNIEŃ PROPAGACJI FAL PODEŁUŻNO-POPAPZECZNYCH
W PÓŁPRZESTRZENI

W.K.Nowacki

1. Wstęp

Aktualnymi problemami dynamicznej teorii plastyczności są problemy przestrzenne, jak również problemy propagacji fal w złożonym stanie napięcia, lecz zależne od jednej zmiennej przestrzennej. Zagadnienia te posiadają zasadnicze znaczenie praktyczne. Ich niezaawansowanie w literaturze związane jest przede wszystkim z trudnościami natury matematycznej i rachunkowej jak i również z trudnościami natury fizycznej. W zagadnieniach tych na poważne trudności natrafia stosowanie teorii deformacyjnej - nie można spełnić postulatu o pokrywaniu się kierunków głównych tensora naprężenia z kierunkami głównymi tensora odkształcenia.

W literaturze istnieje kilka rozwiązań dotyczących problemów propagacji fal w złożonym stanie napięcia /dla jednej zmiennej przestrzennej/. I tak w pracy [13] autorzy rozwiązali zagadnienie samopodobne propagacji fal poprzecznych

i podłużnych w odwracalnym ośrodku nieliniowo-sprężystym -
- półprzestrzeń obciążona stałym w czasie i przestrzeni
wymuszeniem kinematycznym. W pracy [3] rozwiązano zagadnienie
propagacji fal w półprzestrzeni, wypełnionej ośrodkiem idealnie
plastycznym, przy założeniu na jej powierzchni stałego napięcia
normalnego i stycznego. Jest to również zagadnienie samopo-
dobne. W pracach [14 i 15], opierając się na równaniach
konstrytuwnych dynamiki gruntów S.S. Grigoriana, przyjmując
znaczące uproszczenia natury fizycznej, rozwiązano następujące
zagadnienia: problem półprzestrzeni z zadaniem na jej powierz-
chni skokowo stałym ciśnieniem normalnym i stycznym oraz
problem półprzestrzeni z zadaniem na powierzchni stałym w czasie
ciśnieniem normalnym, poruszającym się ze stałą prędkością.
Oba przedstawione zagadnienia są samopodobne. Ze względu na
przyjęte tutaj obciążenia nie występowały w tych pracach
zagadnienia formowania się frontów fal plastycznych, które
powstają na skutek współdziałania fal poprzecznych i podłuż-
nych. Na zagadnienia te położono nacisk w pracach [6 - 9].
Skonstruowano w nich rozwiązanie niesamopodobnego problemu
propagacji fal w półprzestrzeni sprężysto-lepkoplastycznej
przy zadaniem monotonicznie rosnącym w czasie a następnie
malejącym ciśnieniu normalnym i stycznym na powierzchni
półprzestrzeni. W pracy [6] ograniczono się do problemu
obciążenia. W pracy [7] rozważono również zagadnienie odciąż-
enia. Niestety przyjęte tutaj równania konstytutywne ośrodka
sprężysto-lepkoplastycznego nie całkują się w obszarach

odkształceń lepko-plastycznych. Aby rozwiązać efektywnie postawione zagadnienie trzeba odwołać się do obliczeń numerycznych i tą drogą przeanalizować wpływ poszczególnych parametrów na rozwiązania. W [8] zestawiono wyniki obliczeń numerycznych dla powyższych zagadnień i ich analizę dla różnych wariantów zmiany w czasie i różnego charakteru przyłożenia do powierzchni półprzestrzeni napięć normalnych i stycznych oraz przeprowadzono analizę wpływu wartości współczynnika lepkości na pole naprężeń. W pracach [6,7,8] przyjęto w celu uproszczenia obliczeń numerycznych model ciała bez wzmocnienia - model K.Hohenemsera i W.Pragera. W [9] uwzględniono wpływ wzmocnienia materiału na związki między polem naprężeń i odkształceń. Nie wprowadziło to zmian jakościowych w obrazie rozwiązań, natomiast wykazano tu znaczny wpływ ilościowy wzmocnienia, który jest istotny przy małych prędkościach odkształceń i dużych współczynnikach wzmocnienia materiału.

Celem niniejszej pracy jest rozwiązanie zagadnienia propagacji fal w półprzestrzeni obciążonej na powierzchni dowolnie zmiennym w czasie ciśnieniem normalnym i stycznym. Za punkt wyjścia przyjęto równania konstytutywne [1]. Są one uogólnieniem związków J.S.Koehlera i F.Seitza [10] na przypadek złożonego stanu napięcia, uwzględniają one ściśłość plastyczną materiału. Równania te w jednoosiowym stanie odkształcenia, przechodzą w klasyczne związki teorii deformacyjnej. Zastosowanie teorii biliniowej w problemach złożonego

stanu napięcia ma tę zaletę : stosunku do innych teorii plastyczności, że równania problemu całkują się zarówno w zakresie sprężystym jak i plastycznym. Jest to olbrzymią zaletą tej teorii, gdyż pozwala na efektywne skonstruowanie rozwiązania wielu zagadnień brzegowych, chociaż teoria ta posiada pewne uproszczenia natury fizycznej.

W pracy, w punkcie 2, przedstawiono równania wyjściowe problemu, omawiając w skrócie istotę tej teorii; w p. 3 podano rozwiązanie postawionego problemu brzegowego, dyskusję obszarów na płaszczyźnie fazowej - przedstawiono przypadki propagacji fal słabych i silnych nieciągłości; w p.4 podano kilka uwag dotyczących fali odciążenia.

2. Równania wyjściowe problemu

Rozważmy ruch ośrodka, opisanego modelem biliniowym, wypełniającego półprzestrzeń, na powierzchni której przyłożono napięcia normalne i styczne /rys.1/

$$/2.1/ \quad \sigma_{11}(0, t) = -|\sigma_0(t)|, \quad \sigma_{12}(0, t) = -|\tau_0(t)|,$$

dowolnie zmienne w czasie.

Przyjęto w rozważaniach uogólnione w pracy [1] związki J.S.Koehlera i F.Seitza [10] na przypadek złożonego stanu napięcia, uwzględniając ściśliwość plastyczną materiału w taki sposób, aby związki między naprężeniami i odkształceniami dla ciała idealnie plastycznego były biliniowe. Związki te w strefie plastycznej, dla procesu aktywnego obciążenia dane są w postaci

$$e_{ij} = \frac{1}{2\mu_1} \Delta_{ij} + \left(\frac{1}{2\mu_2} - \frac{1}{2\mu_1} \right) (\Delta_{ij} - \Delta_{ij}^0),$$

$$/2.2/ \quad \varepsilon_{ii} = \frac{1}{3K_1} \sigma_{ii} + \left(\frac{1}{3K_2} - \frac{1}{3K_1} \right) (\sigma_{ii} - \sigma_{ii}^0),$$

w zakresie sprężystym

$$/2.3/ \quad e_{ij} = \frac{1}{2\mu_1} \Delta_{ij}$$

$$\varepsilon_{ii} = \frac{1}{3K_1} \sigma_{ii}$$

e_{ij} i Δ_{ij} oraz ε_{ii} i σ_{ii} oznaczają odpowiednio dewiatory i pierwsze niezmienniki tensora odkształcenia i naprężenia; σ_{ij}^0 jest tensorem naprężeń początkowych, odpowiadających warunkowi płynięcia; μ_1 i K_1 są odpowiednio modułami odkształceń postaciowych i objętościowych; μ_2 i K_2 są stałymi materiałowymi w zakresie plastycznym

$$/2.4/ \quad \mu_2 = \frac{E_2}{2(1+\nu_2)}, \quad 3K_2 = \frac{E_2}{1-2\nu_2}.$$

Równanie /2.2/ jest przedstawione graficznie na rys.3, przy czym stała K_2 jest modułem ściśliwości w strefie plastycznej. Współczynnik ν_2 określono w [1] dla przypadku prostego rozciągania. Oznaczając $\varepsilon_1 = \varepsilon_1^{(1)} + \varepsilon_1^{(2)}$ oraz $\varepsilon_2 = \varepsilon_2^{(1)} + \varepsilon_2^{(2)}$, gdzie ε_1 jest odkształceniem podłużnym pręta a ε_2 - odkształceniem poprzecznym oraz $\varepsilon_1^{(1)}$ i $\varepsilon_2^{(1)}$ są odkształceniami odpowiadającymi punktowi płynięcia /rys.2/ otrzymamy z /2.2/

$$/2.5/ \quad \varepsilon_1^{(2)} = \frac{1}{E_2} (\sigma - \sigma^0), \quad \varepsilon_2^{(2)} = -\frac{\nu_2}{E_2} (\sigma - \sigma^0).$$

Współczynnik ν_2 określono jako stosunek odkształcenia poprzecznego w strefie plastycznej do odkształcenia podłużnego w strefie plastycznej

$$/2.6/ \quad \nu_2 = -\frac{\varepsilon_2^{(2)}}{\varepsilon_1^{(1)}}$$

Tak więc ν_2 w związkach /2.4/ jak również μ_2 odgrywa rolę współczynnika Poissona i modułu ścinania w strefie plastycznej. W próbach jednoosiowego rozciągania E_2 może być otrzymane z wykresu $\bar{\sigma} - \bar{\epsilon}$ /rys.2/, K_2 z wykresu $\bar{\sigma}_{ii} - \bar{\epsilon}_{ii}$ /rys.3/ a ν_2 określimy na podstawie /2.4/.

W pracy [1] podano również inną postać równań /2.2/

$$\begin{aligned} /2.7/ \quad e_{ij} &= \frac{1+p}{E_2} \left\{ \left(1 - \frac{E_2}{E_1} \frac{p-\nu_1}{1+p} \right) \Delta_{ij} - \left(1 - \frac{E_2}{E_1} \right) \Delta_{ij}^0 \right\}, \\ \epsilon_{ii} &= \frac{1-2\nu_1}{E_1} \bar{\sigma}_{ii} + \left(\frac{1}{E_2} - \frac{1}{E_1} \right) (1-2p) (\bar{\sigma}_{ii} - \bar{\sigma}_{ii}^0), \end{aligned}$$

wprowadzając współczynnik poprzecznego zwięźnienia plastycznego

p zdefiniowany jako stosunek

$$/2.8/ \quad p = - \frac{\epsilon_2^p}{\epsilon_1^p},$$

gdzie ϵ_1^p i ϵ_2^p są określone na podstawie /2.2/ dla jednoosiowego stanu naprężenia $\epsilon_1^p = \left(\frac{1}{E_2} - \frac{1}{E_1} \right) (\bar{\sigma} - \bar{\sigma}^0)$ i $\epsilon_2^p = - \left(\frac{\nu_2}{E_2} - \frac{\nu_1}{E_1} \right) (\bar{\sigma} - \bar{\sigma}^0)$

W pracy przyjęto warunek plastyczności Misesa

$$/2.9/ \quad J_2' = \frac{1}{2} \Delta_{ij} \Delta_{ij} = k_0^2$$

gdzie J_2' jest drugim niezmiennikiem dewiatora naprężeń.

Proces aktywnego obciążenia będzie miał miejsce wtedy gdy $dJ_2' \geq 0$. Podobnie jak to ma miejsce w innych teoriach plastyczności, przyjęto tutaj odciążenie sprężyste. W odciążeniu, związki /2.2/ przyjmują postać :

$$\begin{aligned} /2.10/ \quad e_{ij} &= \frac{1}{2\mu_1} \Delta_{ij} + \left(\frac{1}{2\mu_2} - \frac{1}{2\mu_1} \right) (\Delta_{ij}^{(max)} - \Delta_{ij}^0), \\ \epsilon_{ii} &= \frac{1}{3K_1} \bar{\sigma}_{ii} + \left(\frac{1}{3K_2} - \frac{1}{3K_1} \right) (\bar{\sigma}_{ii}^{(max)} - \bar{\sigma}_{ii}^0), \end{aligned}$$

gdzie $\sigma_{ij}^{(max)}$ jest tensorem naprężeń na fali obciążenia.

Powyższe związki fizyczne należy uzupełnić równaniami równowagi dynamicznej

$$/2.11/ \quad \sigma_{ik,k} - \rho u_{i,tt} = 0,$$

oraz związkami dla małych deformacji

$$/2.12/ \quad \varepsilon_{ij} = \frac{1}{2} (u_{i,j} + u_{j,i}).$$

Przy przyjętych warunkach brzegowych typu /2.1/ w pół-przestrzeni propaguje się układ fal naprężenia, zależnych jedynie od dwóch zmiennych x, t :

$$u_1(x, t) = u_1, \quad u_2(x, t) = u_2, \quad u_3(x, t) = 0.$$

W związku z tym stan naprężeń i odkształceń spełnia następujące relacje

$$/2.13/ \quad \varepsilon_{11} = u_{1,1}; \quad \varepsilon_{12} = \varepsilon_{21} = \frac{1}{2} u_{2,1}; \quad \varepsilon_{23} = \varepsilon_{13} = \varepsilon_{22} = \varepsilon_{33} = 0;$$
$$\sigma_{22} = \sigma_{33}; \quad \sigma_{13} = \sigma_{23} = 0,$$

ponadto

$$/2.14/ \quad v_{1,1} = \varepsilon_{11,t}; \quad v_{2,1} = 2 \varepsilon_{12,t}$$

gdzie oznaczono $v_1 = u_{1,t}$, $v_2 = u_{2,t}$

Mając na uwadze /2.13/ i /2.14/ równania rozważanego problemu przyjmą następującą postać:

$$/2.15/ \quad \left. \begin{aligned} \varepsilon_{11} &= \frac{1}{2\mu_2} (\sigma_{11} - \sigma_{22}) - \left(\frac{1}{2\mu_2} - \frac{1}{2\mu_1} \right) (\sigma_{11}^0 - \sigma_{22}^0) \\ \varepsilon_{12} &= \frac{1}{2\mu_2} \sigma_{12} - \left(\frac{1}{2\mu_2} - \frac{1}{2\mu_1} \right) \sigma_{12}^0 \\ \varepsilon_{11} &= \frac{1}{3K_2} (\sigma_{11} + 2\sigma_{22}) - \left(\frac{1}{3K_2} - \frac{1}{3K_1} \right) (\sigma_{11}^0 + 2\sigma_{22}^0) \end{aligned} \right\} \begin{array}{l} \text{W procesie} \\ \text{aktywnego} \\ \text{obciążenia} \\ \text{w strefie} \\ \text{plastycznej} \\ (J_2' > k_0^2, dJ_2' \geq 0) \end{array}$$

$$/2.15/ \left\{ \begin{array}{l} \varepsilon_{11} = \frac{1}{2\mu_1} (\sigma_{11} - \sigma_{22}) \\ \varepsilon_{12} = \frac{1}{2\mu_1} \sigma_{12} \\ \varepsilon_{11} = \frac{1}{3K_1} (\sigma_{11} + 2\sigma_{22}) \end{array} \right\} \quad \begin{array}{l} \text{w zakresie sprężystym} \\ (J_2' \ll k_0^2) \end{array}$$

$$\left\{ \begin{array}{l} \varepsilon_{11} = \frac{1}{2\mu_1} (\sigma_{11} - \sigma_{22}) + \left(\frac{1}{2\mu_2} - \frac{1}{2\mu_1} \right) (\sigma_{11}^{(max)} - \sigma_{22}^{(max)} - \sigma_{11}^0 + \sigma_{22}^0) \\ \varepsilon_{12} = \frac{1}{2\mu_1} \sigma_{12} + \left(\frac{1}{2\mu_2} - \frac{1}{2\mu_1} \right) (\sigma_{12}^{(max)} - \sigma_{12}^0) \\ \varepsilon_{11} = \frac{1}{3K_1} (\sigma_{11} + 2\sigma_{22}) + \left(\frac{1}{3K_2} - \frac{1}{3K_1} \right) (\sigma_{11}^{(max)} + 2\sigma_{22}^{(max)} - \sigma_{11}^0 - 2\sigma_{22}^0) \end{array} \right. \quad \begin{array}{l} \text{w procesie} \\ \text{odciążania} \\ (J_2' > k_0^2, dJ_2' < 0) \end{array}$$

oraz

$$/2.16/ \quad \begin{array}{l} \sigma_{11,t} - \rho v_{1,t} = 0, \quad v_{1,t} = \varepsilon_{11,t} \\ \sigma_{12,t} - \rho v_{2,t} = 0, \quad v_{2,t} = 2\varepsilon_{12,t} \end{array}$$

Warunek płynięcia /2.9/ będzie miał postać

$$/2.17/ \quad J_2' = \frac{1}{3} [(\sigma_{11} - \sigma_{22})^2 + 3\sigma_{12}^2] = k_0^2.$$

Ponadto rozwiązujemy problem przy zerowych warunkach początkowych

$$/2.18/ \quad u_1(x, 0) = u_2(x, 0) = 0, \quad u_{1,t}(x, 0) = u_{2,t}(x, 0) = 0.$$

3. Rozwiązanie problemu i analiza frontów fal obciążenia na płaszczyźnie x, t

Wyprowadzony układ równań /2.15/ i /2.16/ jest układem równań hiperbolicznych, mający następujące rodziny rzeczywiste-

tych charakterystyk:

w strefie odkształceń sprężystych oraz w strefie odciążenia

$$/3.1/ \quad x \mp a_{11}t = \text{const}, \quad x \mp a_{12}t = \text{const},$$

w strefie odkształceń plastycznych

$$/3.2/ \quad x \mp a_{21}t = \text{const}, \quad x \mp a_{22}t = \text{const},$$

gdzie prędkości fal sprężystych i plastycznych są określone następująco:

$$/3.3/ \quad a_{11}^2 = \frac{3K_1 + 4\mu_1}{3\rho}; \quad a_{12}^2 = \frac{\mu_1}{\rho}; \quad a_{21}^2 = \frac{3K_2 + 4\mu_2}{3\rho}; \quad a_{22}^2 = \frac{\mu_2}{\rho}.$$

Przyjmując w biliniowej teorii plastyczności $E_1 > E_2$ oraz

$$K_1 \geq K_2, \quad \text{będą spełnione nierówności } a_{11} > a_{12}, \quad a_{21} > a_{22},$$

$a_{11} > a_{21}$, $a_{12} > a_{22}$. Mogą natomiast zachodzić trzy przypadki: $a_{21} > a_{12}$, $a_{12} > a_{21}$ i $a_{12} = a_{21}$ które będziemy szczegółowo rozważali.

Układ równań /2.15/ i /2.16/ można zastąpić ekwiwalentnym układem równań wzdłuż charakterystyk:

$$\sigma_{11} \mp \rho a_{11} v_1 = \text{const} \quad \text{dla} \quad x \mp a_{11}t = \text{const},$$

$$\sigma_{12} \mp \rho a_{12} v_2 = \text{const} \quad \text{dla} \quad x \mp a_{12}t = \text{const},$$

$$\sigma_{11} \mp \rho a_{21} v_1 = \text{const} \quad \text{dla} \quad x \mp a_{21}t = \text{const},$$

$$\sigma_{12} \mp \rho a_{22} v_2 = \text{const} \quad \text{dla} \quad x \mp a_{22}t = \text{const}.$$

Zaletą modelu biliniowego jest fakt całkowalności związków na charakterystykach w obszarze plastycznym, co pozwala na rozwiązanie szeregu problemów granicznych w złożonym stanie napięcia w postaci zamkniętej, bez uciekania się do niezmiernie uciążliwych obliczeń numerycznych.

W zależności od charakteru zmiany w czasie naprężeń $\sigma_0(t)$ i $\tau_0(t)$, przyłożonych do powierzchni półprzestrzeni, mogą

propagować się w głąb półprzestrzeni fale słabej i silnej nieciągłości. Fale silnej nieciągłości mogą się propagować tylko w przypadku nieciągłych funkcji $\tilde{\sigma}_0(t)$ i $\tilde{\tau}_0(t)$. Model biliniowy przy założeniu $E_1 \gg E_2$, $K_1 \gg K_2$ nie dopuszcza do powstania fal uderzeniowych. W pierwszej kolejności rozważymy przypadki powstawania fal plastycznych obciążenia, słabej nieciągłości.

3.1 Fale słabej nieciągłości

Założymy, że funkcje $\tilde{\sigma}_0(t)$ i $\tilde{\tau}_0(t)$ są funkcjami ciągłymi, przy czym $\tilde{\sigma}_0(0) = 0$ i $\tilde{\tau}_0(0) = 0$. Obraz falowy na płaszczyźnie fazowej x, t jest następujący. Wraz ze wzrostem naprężeń $\tilde{\sigma}_0(t)$ i $\tilde{\tau}_0(t)$ na brzegu, w głąb półprzestrzeni propagują się dwa nieoddziaływujące ze sobą układy fal Riemanna z prędkościami a_{11} i a_{12} /rys.4/. Rozwiązania analityczne w poszczególnych obszarach płaszczyzny fazowej są następujące:

Obszar I

$$/3.5/ \quad \tilde{\sigma}_{11} = -\tilde{\sigma}_0\left(t - \frac{x}{a_{11}}\right), \quad \tilde{\sigma}_{22} = -\nu_0 \tilde{\sigma}_0\left(t - \frac{x}{a_{11}}\right), \quad \tilde{\sigma}_{12} = \nu_2 = 0, \quad \nu_1 = \frac{1}{\rho a_{11}} \tilde{\sigma}_0\left(t - \frac{x}{a_{11}}\right).$$

Obszar II

$$/3.6/ \quad \tilde{\sigma}_{11} = -\tilde{\sigma}_0\left(t - \frac{x}{a_{11}}\right), \quad \tilde{\sigma}_{22} = \nu_c \tilde{\sigma}_{11}, \quad \tilde{\sigma}_{12} = -\tilde{\tau}_0\left(t - \frac{x}{a_{12}}\right), \quad \nu_1 = -\frac{1}{\rho a_{11}} \tilde{\sigma}_{11}, \quad \nu_2 = -\frac{1}{\rho a_{12}} \tilde{\sigma}_{12}.$$

Następnie począwszy od pewnej chwili $t = t_s$, w które to obciążenia brzegu półprzestrzeni spełniają warunek /2.17/ tzn

$$/3.7/ \quad (1 - \nu_0)^2 \tilde{\sigma}_0^2(t_s) + 3 \tilde{\tau}_0^2(t_s) = 3k_c^2,$$

przy czym ze związków fizycznych /2.15/ w zakresie sprężystym wynika, że $\tilde{\sigma}_{22} = \nu_c \tilde{\sigma}_{11}$, gdzie $\nu_c = \frac{3K_1 - 2\mu_1}{3K_1 + 4\mu_1}$, zacznie rozprzecznić się front fali plastycznej obciążenia. W zależności od

stosunku prędkości a_{12} i a_{21} będziemy mieli różny obraz rozwiązania na płaszczyźnie x, t . Rozważymy kolejno trzy przypadki.

Przypadek I $a_{21} > a_{12}$

W tym przypadku /rys.4/, począwszy od chwili $t=t_g$ zaczyna rozprzestrzeniać się front fali plastycznej $x=\varphi(t)$, ze zmienną prędkością. Na fali plastycznej $x=\varphi(t)$ powinien być spełniony warunek /2.17/. Problem określenia fali będzie postawiony jednoznacznie wówczas, gdy prędkość fali plastycznej $c=\varphi'(t)$ będzie ograniczona w przedziale

$$/3.8/ \quad a_{12} \leq c \leq a_{21}$$

Na kształt fali plastycznej $x=\varphi(t)$ będą miały wpływ jedynie gradienty naprężeń normalnych $\frac{d\sigma_0}{dt}$ dla $t > t_g$ oraz stycznych $\frac{d\tau_0}{dt}$ dla $t < t_g$ /rys.5/. Natomiast nie będą miały wpływu na jej kształt gradienty naprężeń normalnych dla $t < t_g$ i stycznych dla $t > t_g$.

Prędkość początkową fali obciążenia można określić identycznie jak to miało miejsce przy fali obciążenia w analogicznym problemie brzegowym dla modelu ciała sprężysto-lepkoplastycznego [6,7]. Można też określić początkową prędkość fali plastycznej w podobny sposób jak w pracy W.L. Bidermana [2], odpowiednio go modyfikując. W niniejszej pracy określimy prędkość początkową fali obciążenia w znacznie prostszy sposób. Założymy, że dany jest front fali plastycznej $x=\varphi(t)$. Z dowolnego punktu obszaru V poprowadzimy charakterystykę dodatnią i ujemną do przecięcia się z falą

$x = \varphi(t)$, Związki /3.4/ na tych charakterystykach mają postać

$$\begin{aligned} /3.9/ \quad \sigma_{11}(x, t) &= \sigma_{11}^*(t_M) - \rho a_{21} v_1(x, t) + \rho a_{21} v_1^*(t_M), \\ \sigma_{11}(x, t) &= \sigma_{11}^*(t_N) + \rho a_{21} v_1(x, t) - \rho a_{21} v_1^*(t_N), \end{aligned}$$

tutaj oraz w dalszym ciągu gwiazdką będziemy oznaczali wartości na fali $x = \varphi(t)$. Z powyższych związków otrzymamy

$$/3.10/ \quad 2\sigma_{11}(x, t) = \sigma_{11}^*(t_M) + \sigma_{11}^*(t_N) + \rho a_{21} [v_1^*(t_M) - v_1^*(t_N)],$$

a następnie różniczkując /3.10/ względem czasu będziemy mieli

$$/3.11/ \quad 2 \frac{\partial \sigma}{\partial t} = \frac{d\sigma_{11}^*}{dt_M} \frac{\partial t_M}{\partial t} + \frac{d\sigma_{11}^*}{dt_N} \frac{\partial t_N}{\partial t} + \rho a_{21} \left[\frac{dv_1^*}{dt_M} \frac{\partial t_M}{\partial t} - \frac{dv_1^*}{dt_N} \frac{\partial t_N}{\partial t} \right].$$

Pochodne $\frac{\partial t_M}{\partial t}$ i $\frac{\partial t_N}{\partial t}$ obliczymy odpowiednio z charakterystyki $x = x_M - a_{21}/t - t_M/$ i $x = x_N + a_{21}/t - t_N/$, przy czym $x_M = \varphi(t_M)$ i $x_N = \varphi(t_N)$:

$$/3.12/ \quad \frac{\partial t_M}{\partial t} = \frac{a_{21}}{a_{21} + \varphi'(t_M)}, \quad \frac{\partial t_N}{\partial t} = \frac{a_{21}}{a_{21} - \varphi'(t_N)}.$$

Wstawiając /3.12/ do /3.11/ i dokonując przejścia granicznego $t_M \rightarrow t_N \rightarrow t_s$ otrzymamy

$$/3.13/ \quad 2 \left. \frac{\partial \sigma_{11}}{\partial t} \right|_{x=0} = \sigma_{11}^*(t_s^+) \left[\frac{a_{21}}{a_{21} + \varphi'} + \frac{a_{21}}{a_{21} - \varphi'} \right] + \rho a_{21} v^*(t_s^+) \left[\frac{a_{21}}{a_{21} + \varphi'} - \frac{a_{21}}{a_{21} - \varphi'} \right] = -2\sigma_0^*(t_s^+).$$

Wykorzystując ponadto związek na ujemnej charakterystyce sprężystej odpowiadającej fali podłużnej, który po zróżniczkowaniu daje

$$/3.14/ \quad v^{*2}(t_s^-) = -\frac{1}{\rho a_{11}} \sigma_{11}^*(t_s^-)$$

oraz warunek plastyczności /3.5/, z którego wyznaczymy σ_{11}^* a następnie $\sigma_{11}^*(t_s)$:

$$/3.15/ \quad \sigma_H^{*'}(t_s) = \frac{3\tau_0(t_s) \tilde{c}_0'(t_s^-) (1 - \frac{\varphi'(t_s)}{a_{12}})}{[3k_0^2 - 3\tilde{c}_0^2(t_0)]^{1/2}}$$

przy czym wykorzystano fakt, że $\varphi(t_s) = 0$

Ze związków /3.14/ i /3.15/ możemy już wyznaczyć poszukiwaną prędkość początkową fali plastycznej $c_0 = \varphi'(t_s)$. Po licznych przekształceniach otrzymamy wzór na prędkość początkową

$$/3.16/ \quad c_0 = \varphi'(t_s) = \frac{(a_{12} - a_{11}) a_{21}^2}{2(a_{21}^2 - S a_{12} a_{11})} + \left[\frac{a_{21}^2 (a_{12} - a_{11})}{2(a_{21}^2 - S a_{12} a_{11})} \right]^2 + \frac{a_{12}^2 a_{12} a_{11} (1 - S)}{a_{21} - S a_{12} a_{11}} \right]^{1/2}$$

gdzie oznaczono

$$/3.17/ \quad S = \frac{(1 - \gamma_0)^2 \sigma_0'(t_s^+) \sigma_0(t_s)}{3 \tau_0'(t_s^-) \tau_0(t_s)},$$

$\sigma_0'(t_s^+)$ i $\tau_0'(t_s^-)$ są odpowiednio napięciami brzegowymi odpowiednio dla czasu $t > t_s$ i $t < t_s$.

Mając określoną prędkość początkową fali plastycznej c_0 , oraz żądając spełnienia na fali $x = \varphi(t)$ warunku /2.17/, znajdziemy rozwiązanie w tym obszarze [12], łącznie z określeniem całego frontu fali $x = \varphi(t)$.

Z analizy wzoru /3.16/ możemy zauważyć, że gdy: $\tau_0'(t_s) \neq 0$, $\tau_0(t_s) \neq 0$ to jeżeli $\sigma_0'(t_s^+) \rightarrow 0$ lub $\sigma_0(t_s) \rightarrow 0$ to $c_0 = a_{12}$; jeżeli $\sigma_0'(t_s^+) \rightarrow \infty$ to $c_0 = a_{21}$; gdy $\sigma_0'(t_s^+) \neq 0$, $\sigma_0(t_s) \neq 0$ to jeżeli $\tau_0'(t_s^-) \rightarrow 0$ lub $\tau_0(t_s) \rightarrow 0$ to $c_0 = a_{21}$, jeżeli $\tau_0'(t_s^-) \rightarrow \infty$ to $c_0 = a_{12}$.

Widać stąd, że fala plastyczna leży między charakterystykami $x = a_{12}/t - t_s/$ i $x = a_{21}/t - t_s/$. W pewnej chwili

$t = t_k$ fala plastyczna przecina charakterystykę $x = a_{12}t$ - punkt O_2 na rys.4. Może się też zdarzyć taki przypadek, przy szczególnie dobranych obciążeniach zewnętrznych $\tilde{\sigma}_c(t)$ i $\tilde{\tau}_c(t)$, że fala $x = \varphi(t)$ nie przetnie się z charakterystyką $x = a_{12}t$ lecz będzie dążyła asymptotycznie do jakiejś charakterystyki $x = a_{12}t - t^*$, / $0 < t^* < t_g$ /. Oczywiście fakt ten wyniknie dopiero z rozwiązania konkretnego problemu. W przypadkach granicznych, znikania jednej ze składowych napięć brzegowych $\tilde{\sigma}_c(t)$ lub $\tilde{\tau}_c(t)$, fala plastyczna przechodzi w linię prostą, pokrywającą się odpowiednio z charakterystyką $x = a_{11}t - t_g$ / gdy $\tilde{\tau}_c(t) \equiv 0$, co odpowiada problemom jednowymiarowym.

Obszar III

Zakładając, że znamy już front fali plastycznej $x = \varphi(t)$ możemy na nim określić parametry rozwiązania, mianowicie:

$$\tilde{\sigma}_{12}[\varphi(t), t] = \tilde{\sigma}_{12}^*(t) = -\tilde{\tau}_c(t - \frac{\varphi(t)}{a_{12}}), \quad \tilde{\sigma}_{11}[\varphi(t), t] = \tilde{\sigma}_{11}^*(t) = -\frac{1}{1-\nu_c} \left\{ 3k_0^2 - 3\tilde{\tau}_c^2(t - \frac{\varphi(t)}{a_{12}}) \right\}^{1/2}$$

Rozwiązanie w obszarze III przyjmie postać:

$$13.13/ \quad \tilde{\sigma}_{11} = \tilde{\sigma}_{11}^*(t - \frac{x}{a_{11}}), \quad \tilde{\sigma}_{22} = \gamma_0 \tilde{\sigma}_{11}^*(t - \frac{x}{a_{11}}), \quad \tilde{\sigma}_{12} = -\tilde{\tau}_c(t - \frac{x}{a_{12}}), \\ \nu_1 = -\frac{1}{\rho a_{11}} \tilde{\sigma}_{11}^*(t - \frac{x}{a_{11}}), \quad \nu_2 = \frac{1}{\rho a_{12}} \tilde{\tau}_c(t - \frac{x}{a_{12}}).$$

Obszar IV

$$13.14/ \quad \tilde{\sigma}_{11} = \tilde{\sigma}_{11}^*(t - \frac{x}{a_{11}}), \quad \tilde{\sigma}_{22} = \gamma_0 \tilde{\sigma}_{11}, \quad \tilde{\sigma}_{12} = \nu_2 = 0, \quad \nu_1 = -\frac{1}{\rho a_{11}} \tilde{\sigma}_{11}^*(t - \frac{x}{a_{11}}).$$

Fala plastyczna $x = \varphi(t)$ w punkcie (x_k, t_k) przechodzi w charakterystykę $x = x_k + a_{11}t - t_k$ /. Na jej froncie mamy naprężenie $\tilde{\sigma}_{11} = -\frac{13}{1-\nu_c} k_0 = -\tilde{\sigma}_p$.

Obszar VI

Obszar ten jest obszarem stałych naprężeń

$$/3.15/ \quad \bar{\sigma}_{11} = -\bar{\sigma}_p, \quad \bar{\sigma}_{22} = \gamma_0 \bar{\sigma}_{11}, \quad \bar{\sigma}_{12} = \nu_2 = 0, \quad \nu_1 = -\frac{1}{\rho a_{11}} \bar{\sigma}_{11}.$$

W pozostałych obszarach płaszczyzny fazowej x, t /rys.4/ łatwo można określić rozwiązanie w oparciu o związki wzdłuż charakterystyk /3.4/. W obszarach IX i XI jest $\bar{\sigma}_{12} = \nu_2 = 0$. Można wykazać, że przy monotonicznym wzroście naprężeń $\bar{\sigma}_0(t)$ i $\bar{\tau}_0(t)$ nad krzywoliniową falą plastyczną $x = \varphi(t)$ nie może powstać obszar stałych naprężeń.

Przypadek II $a_{12} < a_{21}$

W przypadku tym obraz rozwiązania ulegnie znacznemu uproszczeniu w stosunku do przypadku poprzedniego. Rozwiązania w obszarach I i II /rys.6/ są identyczne jak poprzednio i określone są wzorami /3.6/ i /3.7/. Wzdłuż charakterystyki $x = a_{11}/t - t_s$ /rys.3/) jest $\bar{\sigma}_{11} = -\bar{\sigma}_0(t_s)$, ponieważ zaburzenia wywołane naprężeniami rozchodzą się wolniej, z prędkością a_{12} , zatem wzdłuż charakterystyki $x = a_{12}/t - t_s$ będzie osiągnięty stan plastyczny materiału, tzn będzie spełniony warunek /3.5/. Stąd wynika, że charakterystyka $x = a_{12}/t - t_s$ będzie falą plastyczną.

Obszar III

$$\bar{\sigma}_{11} = -\bar{\sigma}_0(t_s), \quad \bar{\sigma}_{22} = \gamma_0 \bar{\sigma}_{11}, \quad \nu_1 = \frac{1}{\rho a_{11}} \bar{\sigma}_0(t_s), \quad \bar{\sigma}_{12} = -\bar{\tau}_0\left(t - \frac{x}{a_{12}}\right), \quad \nu_2 = \frac{1}{\rho a_{12}} \bar{\sigma}_{12}\left(t - \frac{x}{a_{12}}\right).$$

Obszar IV

$$\bar{\sigma}_{11} = -\bar{\sigma}_0(t_s), \quad \bar{\sigma}_{22} = \gamma_0 \bar{\sigma}_{11}, \quad \nu_1 = \frac{1}{\rho a_{11}} \bar{\sigma}_0(t_s), \quad \bar{\sigma}_{12} = \nu_2 = 0.$$

Obszar V

$$\sigma_{11} = -\bar{\sigma}_0(t_s), \quad \sigma_{12} = -\bar{\tau}_0(t_s), \quad v_1 = \frac{1}{\rho a_{21}} \bar{\sigma}_0(t_s), \quad v_2 = \frac{1}{\rho a_{12}} \bar{\tau}_0(t_s).$$

I

$$\sigma_{11} = -\bar{\sigma}_0\left(t - \frac{x}{a_{21}}\right), \quad \sigma_{12} = -\bar{\tau}_0(t_s), \quad v_1 = \frac{1}{\rho a_{21}} \bar{\sigma}_0\left(t - \frac{x}{a_{21}}\right), \quad v_2 = \frac{1}{\rho a_{22}} \bar{\tau}_0(t_s).$$

I

$$\sigma_{11} = -\bar{\sigma}_0\left(t - \frac{x}{a_{21}}\right), \quad \sigma_{12} = -\bar{\tau}_0\left(t - \frac{x}{a_{22}}\right), \quad v_1 = \frac{1}{\rho a_{21}} \bar{\sigma}_0\left(t - \frac{x}{a_{21}}\right), \quad v_2 = \frac{1}{\rho a_{22}} \bar{\tau}_0\left(t - \frac{x}{a_{22}}\right).$$

Przypadek III $a_{12} = a_{21}$

Przypadek ten różni się od poprzedniego tylko tym, że znika obszar stałych naprężeń, ograniczony charakterystykami $x = a_{12}/t - t_s/$ i $x = a_{21}/t - t_s/$, obie te charakterystyki pokrywają się, tworząc falę plastyczną obciążenia, wzdłuż której są stałe naprężenia $\sigma_{11} = -\bar{\sigma}_0(t_s)$ i $\sigma_{12} = -\bar{\tau}_0(t_s)$ spełniające warunek /3.5/ /rys.7/. Przypadek ten również otrzymamy prosto z 1-go wariantu /przedstawionego na rys.4/ w przejściu granicznym $a_{21} \rightarrow a_{12}$. Tutaj krzywoliniowa fala plastyczna $x = \varphi(t)$ pokryje się z charakterystyką $x = a_{12}/t - t_s/$.

3.2 Fale silnej nieciągłości

Przejdziemy obecnie do przypadków fal z silnymi nieciągłościami. Będziemy zakładali, że obydwa naprężenia $\bar{\sigma}_0(t)$ i $\bar{\tau}_0(t)$ są przyłożone w sposób nagły, następnie rosną w czasie. Można tutaj wyróżnić dwa zasadnicze przypadki: pierwszy przypadek, kiedy naprężenie $\bar{\sigma}_0(0)$ samo nie powoduje uplastycznienia materiału, tzn $|\bar{\sigma}_0(0)| < \bar{\sigma}_p$; drugi przypadek, gdy naprężenie $\bar{\sigma}_0(0)$ powoduje uplastycznienie,

tnz $|\sigma_0(0)| \geq \sigma_p$. Zostały tutaj wybrane przypadki charakterystyczne, pominięto natomiast warianty nie wnoszące nowych cech jakościowych.

Również i tutaj w zależności od stosunku prędkości a_{12} i a_{21} będzie inny obraz rozwiązania na płaszczyźnie fazowej.

Przypadek I $a_{21} > a_{12}$

a/ Założymy, że naprężenie normalne na brzegu półprzestrzeni w chwili początkowej jest $|\sigma_0(0)| < \sigma_p$ tzn samo nie powoduje uplastycznienia materiału. Obraz rozwiązania jest następujący /rys.8/ ; w niezaburzoną półprzestrzeń propaguje się front fali silnej nieciągłości $x = a_{11}t$ na którego froncie są nieciągłe naprężenia normalne $\sigma_{11} = -\sigma_0(0)$. Następnie za tym frontem zaczyna propagować się front fali plastycznej, który dla czasu $t < t_k$ pokrywa się z charakterystyką o równaniu $x = a_{12}t$, która jest zarazem falą silnej nieciągłości dla naprężeń ścinających, natomiast dla naprężeń normalnych σ_{11} jest falą słabej nieciągłości. Na jej froncie powinien być spełniony warunek płynięcia /2.17/, z którego wyliczymy wartość naprężeń stycznych σ_{12} . Na froncie fali plastycznej dla $0 \leq t < t_k$ naprężenie normalne jest

$$\sigma_{11}(x,t)|_{x=a_{12}t} = -\sigma_0\left(t - \frac{x}{a_{21}}\right) \quad , \text{zatem z /2.17/ mamy}$$
$$/3.16/ \quad \sigma_{12}(x,t)|_{x=a_{12}t} = -\left\{k_0^2 - \frac{1}{3}[(1-\nu_0)\sigma_0\left(t - \frac{x}{a_{21}}\right)]^2\right\}^{1/2}$$

W miarę wzrostu czasu, naprężenie σ_{12} na fali plastycznej $x = a_{12}t$ maleje, osiągając dla czasu $t = t_k$ wartość zerową. W tym punkcie ($x = x_k, t = t_k$) fala plastyczna silnej nie-

ciągłości kończy się, przechodząc w falę słabej nieciągłości, pokrywającą się z charakterystyką $x = x_k + a_{11}/t - t_k/$ na której jest $\sigma_{11} = -\sigma_p$. W obszarze I mamy $\sigma_{11} = -\sigma_0(t - \frac{x}{a_{11}})$, $v_1 = -\frac{1}{\rho a_{11}} \sigma_{11}$, $\sigma_{12} = v_2 \equiv 0$. Obszar II jest obszarem stałych naprężeń $\sigma_{11} = -\sigma_p$, $v_1 = \frac{\sigma_p}{\rho a_{11}}$, $\sigma_{12} = v_2 \equiv 0$. W obszarze III, IV i V propagują się fale Riemanna naprężeń σ_{11} . W obszarze III $\sigma_{12} \equiv 0$. W obszarach IV i V propagują się fale Riemanna naprężeń stycznych. Na charakterystyce $x = a_{22}t$ jest przenoszone początkowe naprężenie styczne $\sigma_{12} = -\tau_0(0)$.

Przypadek ten można bardzo łatwo otrzymać, dokonując przejścia granicznego dla fali słabej nieciągłości /rys.4/. Dokonując przejścia granicznego np. dla $t^* \rightarrow 0$ / $t^* \geq t_g$ / fala plastyczna $\chi = \varphi(t)$ przejdzie w charakterystykę $x = a_{12}t$.

b/ Założymy z kolei, że naprężenie normalne na brzegu półprzestrzeni w chwili początkowej samo powoduje uplastycznienie materiału, tzn że $|\sigma_0(0)| > \sigma_p$. W przypadku tym /rys.9/ fala plastyczna silnej nieciągłości pokryje się z charakterystyką $x = a_{11}t$ na której będzie $\sigma_{11} = -\sigma_p$. Za nią będzie propagować się fala silnej nieciągłości o równaniu $x = a_{21}t$ z naprężeniem na jej froncie równym $\sigma_{11} = -\sigma_0(0)$. Obszar I będzie obszarem stałych naprężeń, równych $-\sigma_p$. Naprężenie styczne w obszarze I i II będzie równe zero. Za tymi dwoma frontami fal silnych nieciągłości będzie propagował się trzeci front fali silnej nieciągłości

z prędkością a_{22} - nieciągłość naprężeń stycznych σ_{12} , natomiast nie będzie nieciągłości σ_{11} . Skok naprężeń na fali $x = a_{22}t$ będzie równy $\sigma_{12} = -\tilde{\tau}_0(0)$. W obszarze III będą propagowały się fale Riemanna zarówno naprężeń normalnych jak i stycznych.

Przypadek II $a_{12} > a_{21}$

a/ Założymy tutaj w pierwszym rzędzie, identycznie jak poprzednio, że naprężenie normalne na brzegu półprzestrzeni w chwili początkowej jest $|\sigma_0(0)| < \sigma_p$. W przypadku tym w niezaburzoną półprzestrzeń propaguje się front fali silnej nieciągłości z prędkością a_{11} /rys.10/ niosąc na swym froncie naprężenie $\sigma_{11} = -\sigma_0(0)$. Obszar I i II jest obszarem stałych naprężeń normalnych $\sigma_{11} = -\sigma_0(0)$. Z prędkością a_{12} propaguje się front fali plastycznej, na którym naprężenia są następujące: $\sigma_{11} = -\sigma_0(0)$, $\sigma_{12} = \sigma_{12}^* = -\left[k_0^2 - \frac{1}{3}(1-\nu_0)^2 \sigma_0^2(0)\right]^{1/2}$. Front ten jest frontem fali silnej nieciągłości naprężeń ścinających, natomiast frontem fali słabej nieciągłości naprężeń normalnych. W obszarach II i III jest $\sigma_{12}(x,t) = \sigma_{12}^*$. W obszarze III i IV mamy $\sigma_{11}(x,t) = -\sigma_0\left(t - \frac{x}{a_{21}}\right)$, natomiast naprężenie styczne w obszarze IV jest postaci $\sigma_{12}(x,t) = -\tau_0\left(t - \frac{x}{a_{22}}\right)$.

b/ Przyjęcie warunku $|\sigma_0(0)| > \sigma_p$, przy którym uplastycznienie materiału powoduje samo naprężenie normalne, bez udziału naprężeń stycznych, prowadzi do obrazu podobnego jak w przypadku Ib. Fala plastyczna silnej nieciągłości pokrywa się z charakterystyką $x = a_{11}t$ /rys.11/, na jej froncie jest $\sigma_{11} = -\sigma_p$. Obszar I jest obszarem stałych

naprężeń $\sigma_{41} = -\sigma_p$. Następnie w półprzestrzeni propaguje się front fali silnej nieciągłości $x = a_{21}t$ z naprężeniem równym $\sigma_{41} = -\sigma_c(0)$. Następnie z prędkością a_{22} propaguje się fala silnej nieciągłości naprężeń stycznych. Skok naprężeń σ_{42} na jej froncie wynosi $\sigma_{42} = -\tau_c(0)$. W obszarze II i III mamy $\sigma(x,t) = -\sigma_0(t - \frac{x}{a_{21}})$. W obszarze III naprężenie styczne jest $\sigma_{42} = -\tau_0(t - \frac{x}{a_{22}})$.

Przypadek III $a_{12} = a_{21}$

Przypadek ten można bardzo łatwo otrzymać z obu powyżej przedstawionych, dokonując przejścia granicznego $a_{12} \rightarrow a_{21}$, nie będzie on tutaj dyskutowany szczegółowo.

We wszystkich rozpatrywanych przypadkach, zakładając znikanie jednej ze składowych naprężeń powierzchniowych, można wykonać przejścia graniczne do znanych jednowymiarowych zagadnień propagacji fal w prętach.

4. Uwagi dotyczące fali odciążenia

Ze szczegółowej analizy sposobów odciążenia brzegu półprzestrzeni wynika, że mogą zaisnieć dwa różne przypadki jednoznacznego określenia fali odciążenia /dla różnych wartości stosunku prędkości a_{12} i a_{21} /

1° fala plastyczna leży między charakterystykami

$$x = a_{11}/t - t_0/ \quad \text{i} \quad x = a_{21}/t - t_0/,$$

2° fala plastyczna leży między charakterystykami

$$x = a_{12}/t - t_0/ \quad \text{i} \quad x = a_{22}/t - t_0/.$$

Pierwszy przypadek będzie miał miejsce wówczas, gdy zmieni

znak gradient obciążenia normalnego $\frac{d\tilde{\sigma}_0(t)}{dt}$ /rys.12a/ przy
niezmienionym znaku gradientu obciążenia stycznego $\frac{d\tilde{\tau}_0(t)}{dt}$,
lub też przy jego jednoczesnej zmianie. Fakt ten tłumaczy
się tym, że naprężenia normalne w strefie odciążenia rozcho-
dzą się z prędkością większą niż naprężenia ścinające,
zatem o powstaniu fali odciążenia będzie decydowała zmiana
gradientu obciążenia normalnego $\tilde{\sigma}_0(t)$. Jak wykazemy,
w przypadku tym, prędkość początkowa fali odciążenia będzie
zależna jedynie od gradientów naprężenia normalnego $\frac{d\tilde{\sigma}_0(t)}{dt}$
dla $t = t_0^+$ i $t = t_0^-$. Drugi przypadek będzie miał miejsce
wówczas, gdy przy monotonicznym wzroście naprężeń normalnych
 $\tilde{\sigma}_0(t)$, ulega zmianie znak gradientu naprężenia stycznego
 $\frac{d\tilde{\tau}_0(t)}{dt}$ /rys.12b/. Również w tym przypadku prędkość począt-
kowa będzie zależna tylko od gradientów jednego naprężenia -
- naprężenia stycznego $\frac{d\tilde{\tau}_0(t)}{dt}$ dla $t = t_0^+$ i $t = t_0^-$.

Przejdziemy kolejno do omówienia obydwóch przypadków.
Kształt fali odciążenia określimy w podobny sposób jak to
uczyniono przy określeniu fali plastycznej. Założymy, że
dany jest front fali odciążenia $x = \psi_1(t)$ /rys.12a/.
Z dowolnego punktu $P_1/x, t/$ prowadzimy charakterystykę
ujemną i dodatnią do przecięcia się z falą odciążenia
 $x = \psi_1(t)$. Wykorzystując związki na charakterystykach w
obszarze odciążenia, różniczkując je względem czasu, oblicza-
jąc pochodne $\frac{\partial t_M}{\partial t}$ i $\frac{\partial t_N}{\partial t}$ identycznie jak w /3.12/, dokonu-
jąc przejścia granicznego $t_M \rightarrow t_N \rightarrow t_0$ otrzymamy

$$/4.1/ \left. \frac{\partial \sigma_{11}}{\partial t} \right|_{x=0} = \sigma_{11}'(t_0) \left[\frac{a_{11}}{a_{11} + \psi_1'(t_0)} + \frac{a_{11}}{a_{11} - \psi_1'(t_0)} \right] + \rho a_{11} \psi_1''(t_0) \left[\frac{a_{11}}{a_{11} + \psi_1'(t_0)} - \frac{a_{11}}{a_{11} - \psi_1'(t_0)} \right] = -2 \sigma_0'(t_0^+)$$

Przyjmując, że w obszarze pod falą odciążenia $x = \psi_1(t)$ są kole Riemanna, pochodna naprężenia wzdłuż fali odciążenia będzie równa $\sigma_{11}' = -\sigma_0'(t_0^-) \left(1 - \frac{\psi_1'(t_0)}{a_{11}} \right)$ a pochodna prędkości $\psi_1''(t_0) = \frac{1}{\rho a_{21}} \sigma_{11}'(t_0)$. Z /4.1/ po przekształceniach otrzymamy wyrażenie na prędkość początkową fali odciążenia

$$/4.2/ \psi_1''(t_0) = \left\{ \frac{a_{11}^2 a_{21}^2 [\sigma_0'(t_0^+) - \sigma_0'(t_0^-)]}{\sigma_0'(t_0^+) a_{21}^2 - \sigma_0'(t_0^-) a_{11}^2} \right\}^{1/2}$$

gdzie przez $\sigma_0'(t_0^+)$ i $\sigma_0'(t_0^-)$ oznaczono gradienty obciążenia normalnego $\sigma_c(t)$ odpowiednio dla $t = t_0^+$ i $t = t_0^-$.

Wzór /4.2/ jest identyczny w formie jak w przypadku fali odciążenia w zagadnieniu jednowymiarowym [2]. Jak widać prędkość początkowa fali odciążenia będzie zależeć jedynie od $\sigma_0'(t_0^+)$ i $\sigma_0'(t_0^-)$, nie będzie zależeć natomiast od zmian naprężeń stycznych. Z analizy /4.2/ wynika, że jeżeli $\sigma_0'(t_0^+) \neq 0$ to gdy $\sigma_0'(t_0^-) \rightarrow 0$ wówczas $\psi_1''(t_0) = a_{11}$, gdy $\sigma_0'(t_0^+) \rightarrow \infty$ to $\psi_1''(t_0) = a_{11}$ oraz jeżeli $\sigma_0'(t_0^-) \neq 0$ to gdy $\sigma_0'(t_0^+) \neq 0$ lub $\sigma_0'(t_0^-) \rightarrow \infty$ wówczas $\psi_1''(t_0) = a_{21}$. Fala odciążenia jest zatem ograniczona między charakterystykami $x = a_{11}/t - t_0/$ i $x = a_{21}/t - t_0/$. Znając prędkość początkową fali odciążenia $\psi_1''(t_0)$ możemy już określić cały jej front [12]. Naprężenia ścinające σ_{12} na fali odciążenia określimy już bezpośrednio z obszaru pod falą, w oparciu

o związku na charakterystykach /3.4/. Po określeniu składowych tensora naprężenia na fali odciążenia należy sprawdzić czy jest spełniony warunek

$$/4.3/ \quad dJ_2' < 0$$

O ile warunek ten zostanie spełniony, będzie to oznaczać, że rzeczywiście fala $x = \gamma_1(t)$ jest falą odciążenia.

W przypadku drugim przedstawionym na rys.12b, kształt fali odciążenia wyznaczmy identycznie jak poprzednio, lecz korzystając ze związków na charakterystykach poprzecznych. Przeprowadzając identyczne rozważania otrzymamy dla prędkości początkowej fali odciążenia $x = \gamma_2(t)$ wyrażenie:

$$/4.4/ \quad \gamma_2'(t_0) = \left\{ \frac{a_{22} a_{12} [\tau_c'(t_0^+) - \tau_c'(t_0^-)]}{\tau_c'(t_0^+) a_{22}^2 - \tau_c'(t_0^-) a_{12}^2} \right\}^{1/2}.$$

W przypadku tym prędkość początkowa fali odciążenia będzie zależeć jedynie od gradientów naprężenia stycznego $\tau_c'(t_0^+)$ i $\tau_c'(t_0^-)$. Dokonując przejść granicznych, identycznie jak we wzorze /4.2/ przekonamy się, że fala odciążenia $x = \gamma_2(t)$ leży między charakterystykami $x = a_{12}/t - t_0/$ i $x = a_{22} \cdot /t - t_0/$. Określenie całej fali odciążenia $x = \gamma_2(t)$ nie przedstawia również tutaj trudności. Znacznej komplikacji, w porównaniu z poprzednio rozważanym problemem, ulega sprawa wyznaczenia pozostałych składowych tensora naprężenia na fali odciążenia. Naprężeń σ_{11} nie można określić tutaj bezpośrednio z obszaru pod falą odciążenia, ze związków na charakterystykach. Należy tutaj rozwiązać w obszarze nad falą $x = \gamma_2(t)$ problem Goursata dla naprężeń normalnych σ_{11} ,

mając na fali $x = \gamma_2(t)$ związek
/4.5/ $\sigma_{11}[\gamma_2(t), t] + \rho a_{21} v_1[\gamma_2(t), t] = \text{const}$,

i na brzegu $x = 0$ warunek $\sigma_{11}(0, t) = -\sigma_0(t)$. W przypadku prostoliniowej fali odciążenia $x = \gamma_2(t)$ problem ten jest rozwiązany w [11] /por. również [12] /. W tym przypadku powinien być także spełniony na fali odciążenia warunek /4.3/.

W niniejszym punkcie podano jedynie pewne uwagi ogólne dotyczące fali odciążenia, wyznaczenia jej prędkości początkowej oraz jej kształtu. Przedyskutowano jej położenia na płaszczyźnie fazowej (x, t) w zależności od zmian napięć powierzchniowych $\sigma_0(t)$ i $\tau_0(t)$

5. Uwagi końcowe

W pracy przedstawiono rozwiązanie kilku wariantów zmian naprężeń normalnych $\sigma_0(t)$ i stycznych $\tau_0(t)$ przyłożonych do brzegu półprzestrzeni. Nie wyczerpują one jednak wszystkich możliwych przypadków. Należałoby rozważyć przypadki ciśnień $\sigma_0(t)$ i $\tau_0(t)$ przyłożonych nagle do brzegu półprzestrzeni i następnie malejących w czasie. Przypadki te można rozwiązać po uprzedniej analizie powstania fali odciążenia. Interesującym wydaje się być rozszerzenie powyższych zagadnień na problemy odbić i dyfrakcji. Celowe jest również porównanie uzyskanych wyników z istniejącymi już rozwiązaniami /np. rozwiązaniami [5, 7-9] / przez odpowiedni dobór parametrów fizycznych w modelu biliniowym. Pozwoli to na pewną weryfikację biliniowej teorii plastyczności [1]. Zagadnienia te

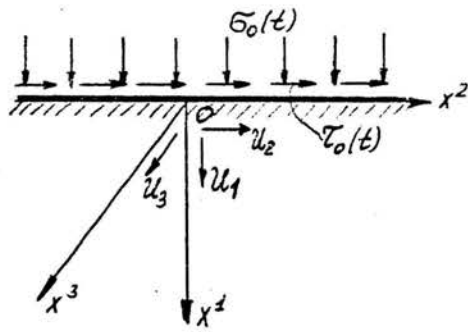
będą między innymi tematem dalszych badań.

Pragnę podziękować Dr B.Ranieckiemu za cenne uwagi i dyskusje.

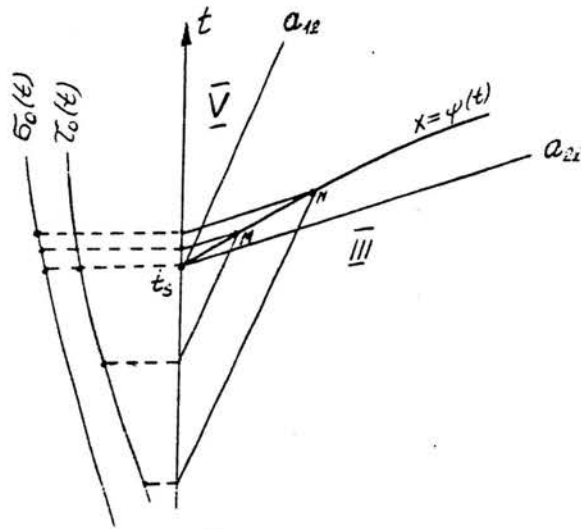
Spis publikacji

- [1.] H.R.Aggarwal, A.M.Soldate, J.F.Hook, J.Miklovitz, Bilinear theories in plasticity and an application to two-dimensional wave propagation, Journ.Appl.Mech., June 1964.
- [2.] В.Л.Бидерман, расчеты на ударную нагрузку. Основы современных методов на прочность в машиностроении. Сб.под ред. С.Д.Понамарева, Машгиз, 1952.
- [3.] H.H.Bleich, I.Nelson, Plane waves in an elastic-plastic half-space due to combined surface pressure and shear, Journ. Appl.Mech., March 1966.
- [4.] R.J.Clifton, An analysis of combined longitudinal and torsional plastic waves in a thin-walled tube, Report No 5, Brown University, Providence, May 1966.
- [5.] J.T.Fong, Elastic-plastic wave in a half-space of a linearly work-hardening material for coupled shear loadings, Report No 161, Stanford University, May 1966.
- [6.] S.Kaliski, W.K.Nowacki, E.Włodarczyk, Plane biwaves in an elastic-viscoplastic semi-space, Proc.Vibr.Probl., 2, 8, 1967.

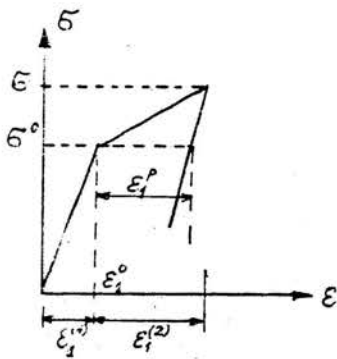
- [7.] S.Kaliski, W.K.Nowacki, E.Włodarczyk, Propagation of plane loading and unloading biwaves in an elastic-viscoplastic semi-infinite body, Proc.Vibr.Probl., 3, 8, 1967.
- [8.] S.Kaliski, W.K.Nowacki, E.Włodarczyk, Propagation of plane loading and unloading biwaves in an elastic-viscoplastic semi-infinite body, Part II, Numerical analysis, Proc.Vibr. Probl., 3, 8, 1967.
- [9.] S.Kaliski, W.K.Nowacki, E.Włodarczyk, The influence of strain hardening in the problem of propagation of plane loading and unloading biwaves in an elastic-viscoplastic semi-infinite body, Proc.Vibr.Probl., 4, 8, 1967.
- [10.] J.S.Koehler, F.Seitz, On the propagation of the plastic deformation produced by an expanding cylinder, NDRC-AOR, Report No A-139.
- [11.] Н.Ф.Лебедев, О распространении волн разгрузки в случае линейного упрочнения, ПММ, 5, 15, 1951.
- [12.] Х.А.Рахматулин, Д.А.Демьянов, Прочность при интенсивных кратковременных нагрузках, Москва 1961.
- [13.] Х.А.Рахматулин, В.С.Анциферов, Распространение сжимающе-сдвигающих возмущений в нелинейно-упругой среде, ПММ, 3, 28,
- [14.] А.М.Скобеев, О плоской упруго-пластической волне, ПММ, 3, 29.
- [15.] А.М.Скобеев, О некоторых плоских задачах динамики грунта, Инженерный журнал, 1, 1966.



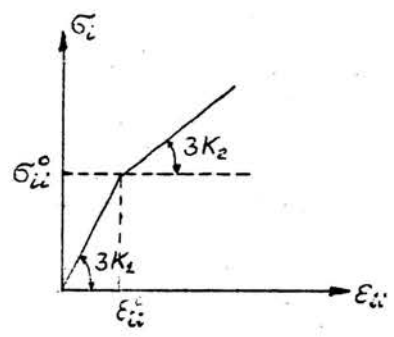
Rys. 1



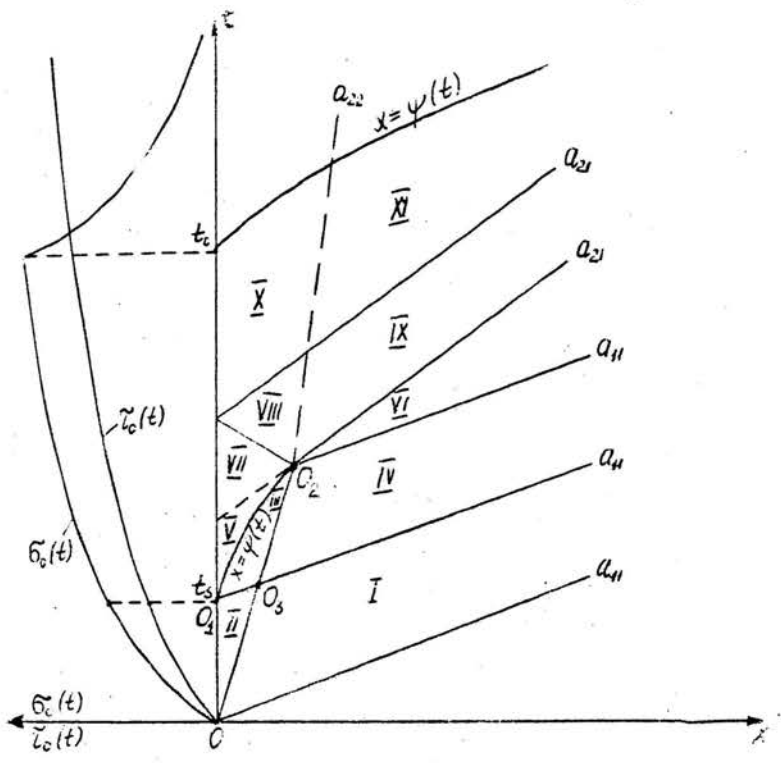
Rys. 5



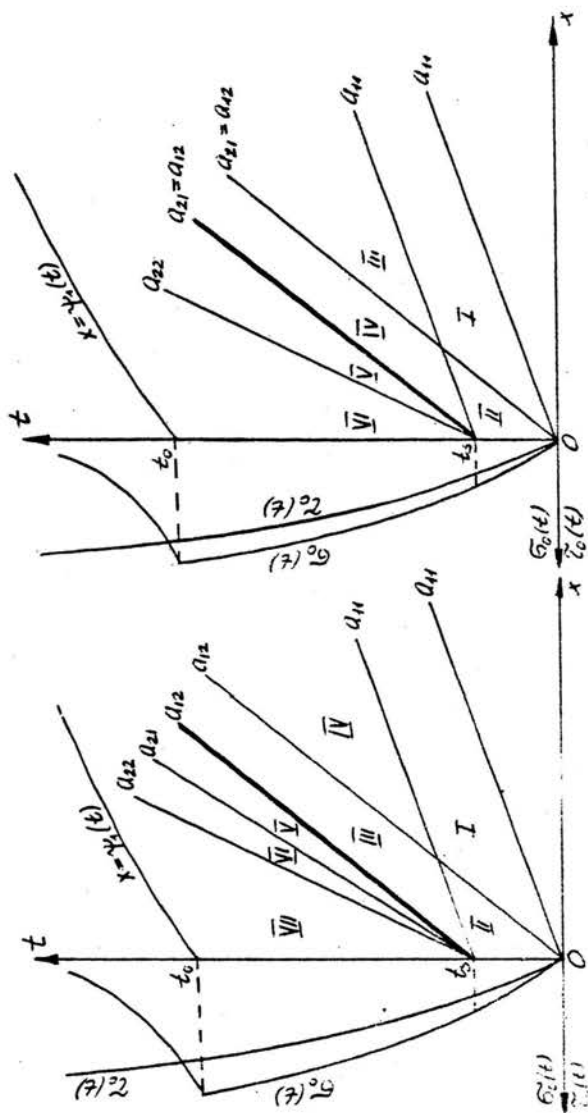
Rys. 2



Rys. 3

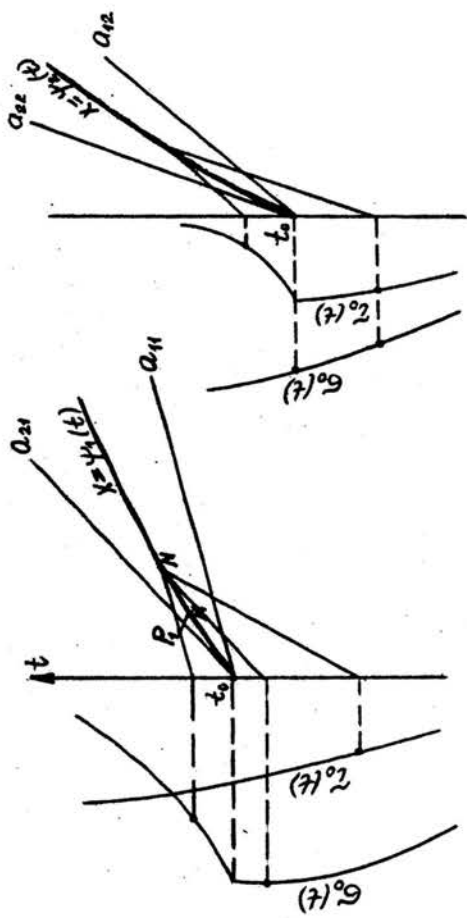


Rys. 4



Rys. 7

Rys. 6



Rys. 12 b

Rys. 12 a

Prace Instytutu Podstawowych Problemów Techniki PAN
wydane w 1968 r.

1. T. W i e r z b i c k i, Viscoplastic flow of rotationally symmetric shells with particular application to dynamic loadings
2. Z. K o z ł o w s k i, Ultradźwiękowe pomiary w ośrodkach gazowych na częstotliwościach rzędu 1 MHz
3. J. K a s p e r k i e w i c z, On the possibility of experimental investigation of shrinkage in concrete
4. A. S z a d k o w s k i, O ruchu częściowo bezinercyjnego zachowawczego układu mechanicznego
5. A. T a r n o g r o d z k i, E. Ł u c z y w e k, Badania doświadczalne opływu nadźwiękowego ciał o dwu prostopadłych płaszczyznach symetrii
6. W.J. P r o s n a k, M.E. K l o n o w s k a, O dwu odmianach metody Pohlhausena i ich zastosowaniu do przepływu w sąsiedztwie punktu spiętrzenia
7. A. M u s z y ń s k a, O ograniczoności rozwiązań pewnego układu równań różniczkowych zwyczajnych
8. S. Z a h o r s k i, Kinematics and statics of small superposed deformations
9. Z. W e s o ł o w s k i, Deformacja klina i deformacja stożka w nieliniowej teorii sprężystości
10. P. P e r z y n a, W. W o j n o, Thermodynamics of a rate sensitive plastic material
11. L. F i l i p c z y ń s k i, The near field distribution on the axis of a vibrating piston.